

Metody chemického výzkumu

Jan Preisler

Fluorescenční spektroskopie

Fluorescence a další luminiscenční spektroskopie

Doba života, kvantový výtěžek

Intenzita fluorescence, zhášení a samozhášení

Spektra excitační a emisní

Spektrometr a postup měření

Aplikace

Spojení se separačními technikami: CE LIF

1

Molekulová luminiscenční spektroskopie

- Luminiscence je jev, při kterém molekula absorbuje energii (např. ve formě fotonu) a následně ji vyzáří ve formě světla
- Molekulová luminiscenční spektroskopie je významná analytická metoda (nízké detekční meze, selektivita)
- Fluorofor ... skupina v molekule zodpovědná za luminiscenci se nazývá luminofor (fluorescence - fluorofor)

3

Luminiscence

Pro zájemce podrobněji:

C7955 Molekulová luminiscence

Petr Táborský, Jan Preisler

2

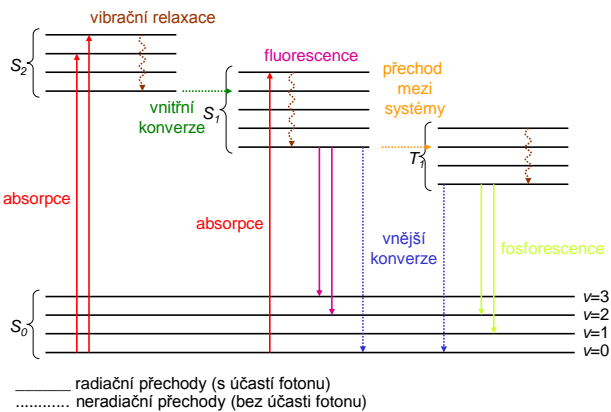
Klasifikace luminiscence

... podle zdroje excitační energie:

- fotoluminiscence
- chemiluminiscence
- bioluminiscence
- elektroluminiscence

4

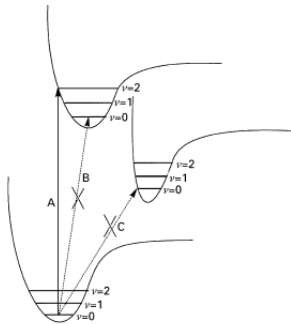
Jablonského diagram



5

Franck-Condonův princip

- Zářivé přechody: přechod elektronu je podstatně rychlejší než pohyb jader
- V okamžiku vybuzení má molekula v excitovaném stavu stejnou pozici a moment atomových jader jako ve stavu základním
- Excitovaná molekula má vyšší energii, než základní uspořádání, do kterého molekula přechází dodatečně
- K luminiscenci dochází ze základního uspořádání



6

Radiační (zářivá) deexcitace

Fluorescence

- Po absorpci záření přechází elektron na jednu z vibračních hladin stavu excitovaného stavu ($S_0 \rightarrow S_n$)
- Vibrační relaxace a vnitřní konverze (přechody v rámci hladin S až na S_1)
- Zářivý přechod na jednu z vibračních hladin základního stavu ($S_1 \rightarrow S_0$)

Fosforecence

- Elektron přechází z nejnižší vibrační hladiny excitovaného stavu na tripletovou hladinu ($S_1 \rightarrow T_1$)
- Vibračními relaxacemi přechází na nejnižší hladinu T_1
- Zářivý přechod na jednu z vibračních hladin základního stavu (S_0)

Zakázaný přechod ... musí dojít ke změně spinu, aby byl dodržen Pauliho princip \Rightarrow nízká pravděpodobnost přechodu a delší čas vyhasání.

7

Neradiační (nezářivá) deexcitace

Vibrační relaxace

Po excitaci na jednu z vibračních hladin (v_n) excitovaného stavu (S_n) dochází postupně k přechodu na nižší vibrační hladiny téhož excitovaného stavu. Energie se rozptýlí v okolí (solvent).

Vnitřní konverze

Nezářivý přechod mezi stavy o stejné multiplicitě; typicky $S_n \rightarrow S_{n-1}$; pravděpodobnost vzrůstá při překryvu daných vibračních hladin obou stavů.

Mezisystémový přechod

Elektron může přejít do jedné z vibračních hladin tripletového stavu o podobné energii ($S \rightarrow T_1$). Přímý přechod ($S_0 \rightarrow T_1$) absorpcí fotonu je nepravděpodobný (nutná změna spinu).

8

Neradiační (nezářivá) deexcitace

Vnější konverze

Přenos energie do okolní – solvent, rozpuštěné látky, krystalová mřížka.
Souvisí se zhášením fluorescence.

9

Časové relace

Absorpce $\sim 10^{-15}$ s (~perioda fotonu)

Vibrační relaxace $10^{-11} - 10^{-10}$ s
postupný přechod ($\Delta v = 1$), perioda vibračního pohybu $\sim 10^{-13}$ s

Vnitřní konverze $\sim 10^{-12}$ s
pravděpodobnost vzrůstá při překryvu vibračních hladin singletů

Fluorescence $10^{-10} - 10^{-6}$ s
obvykle z nulového vibračního pásu excitovaného singletu

Vnější konverze
energie předána okolí (solvent aj.)

Fosforence $10^{-4} - 10^4$ s
zakázaný přechod (změna stavu spinu)

10

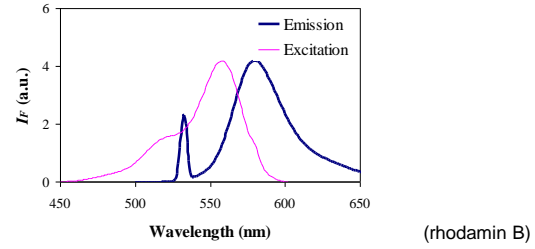
Emisní a excitační spektra

Emisní spektrum

závislost intenzity luminiscence na vlnové délce; $\lambda_{ex} = \text{konst.}$

Excitační spektrum (aktivacní, absorpční)

závislost absorpcie luminoforu (fluoroforu) na vlnové délce, $\lambda_{em} = \text{konst.}$



(rhodamin B)
11

Emisní a excitační spektra

Stokesův posun

Rozdíl mezi vlnovými délkami emisního a excitačního maxima (nm).

Antistokesův posun

Ve vzácných případech může být emisní maximum při kratší vlnové délce než excitační maximum

Nejvyšší výtěžek fluorescence: excitace při $\lambda_{ex\ max}$

Fluorescenční záření bývá posunuto k delším vlnovým délkám v důsledku ztráty části energie konverzemí

U fosforecenčních spekter je posun k delším vlnovým délkám ještě výraznější; přechod $T_1 \rightarrow S_0$ je spojen s menším rozdílem energie než přechod z $S_1 \rightarrow S_0$

12

Emisní a excitační spektra

Zrcadlové pravidlo

emisní a excitační spektra organických látek mají podobný tvar, ale jsou zpravidla zrcadlově obrácené

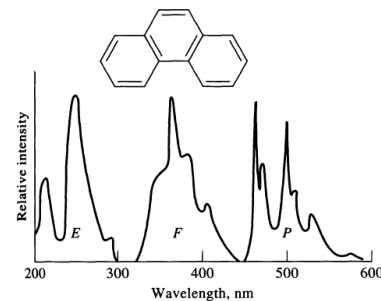
Vavilovův postulát

Tvar emisního spektra není ovlivněn vlnovou délkou excitace a lze excitovat zářením s kteroukoli vlnovou délkou z excitačního spektra.

Aditivita spekter

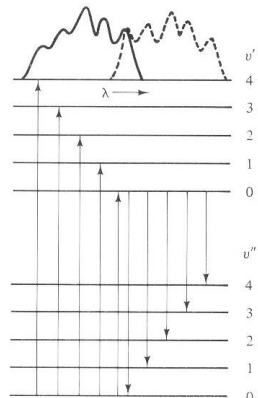
13

Fluorescence a fosforescence



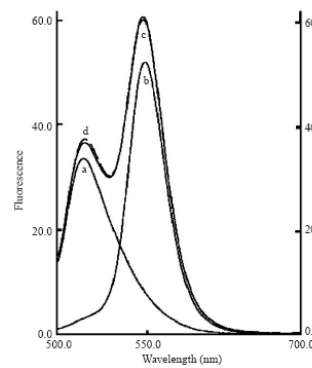
15

Zrcadlové pravidlo



14

Aditivita spekter



16

Základní vztahy

$$A = c \times \varepsilon = \log (I_0/I) \quad (\text{Lambert-Beerův zákon})$$

A – absorbance, c – koncentrace, ε – absorbční koeficient, x – tloušťka kvety, I_0 – světelný tok dopadající na vzorek, I - světelný tok prošlý vzorkem

$$I_F = k \phi I_0 (1 - 10^{-cx\varepsilon})$$

I_F – fluorescence (fotony/s), k – podíl emitovaných fotonů, které dorazí na detektor, ϕ – výtěžek fluorescence

$$I_F \sim k \phi I_0 2.3 c x \varepsilon$$

zjednodušený vztah pro nízké koncentrace

17

Stanovení kvantového výtěžku

- fluorescenční standard musí mít absorpční a fluorescenční maximum blízké látce, jejíž kvantový výtěžek stanovujeme
- fluorescenční standardy:
 - roztoky
 - chinin bisulfát (250nm/450nm)
 - naftalén (290nm/330nm)
 - ovalén (342nm/482nm)
 - fluorescein (488nm/503nm)
 - rhodamin B (562nm/573nm)
 - hranoly

$$\Phi_x = \Phi_{st} \frac{I_x}{I_{st}} \frac{A_{st}}{A_x}$$

19

Výtěžek luminiscence

$$\text{Kvantový výtěžek} \quad \Phi = \frac{\sum k_{rad}}{\sum k_{rad} + \sum k_{nrad}}$$

$$\phi_k = N_{em}/N_{abs} = I_{em}/I_{abs} = I_{em}/(I_0 - I) \quad \phi_k \leq 1$$

Energetický výtěžek

$$\phi_e = E_{em}/E_{abs} = h\nu_{em}/h\nu_{ex} \quad \phi_e < \phi_k \text{ (Stokesův posun)}$$

N počet fotonů za sekundu

I světelný tok (emitovaný, absorbovaný)

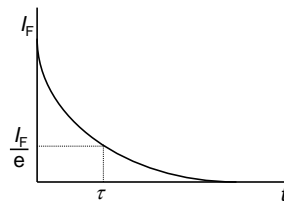
E energie

v frekvence fotonu

k rychlostní konstanty

18

Vyhasínání luminiscence



Úbytek fluorescence: $-dI_F/dt = k_F I_F$

Exponenciální průběh vyhasínání fluorescence: $I_F = I_{F0} e^{-t/\tau}$

Doba života (luminiscence lifetime): $\tau = 1/k_F$

... doba potřebná k poklesu fluorescence na hodnotu $I_{F(t=0)}/e$

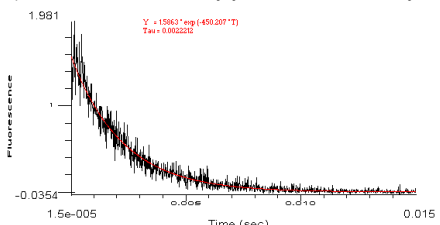
Časově rozlišená (time-resolved) luminiscence

20

Časově rozlišená luminiscence

Vyhodnocení

- poločas vyhasínání luminiscence (luminescence life-time), $\tau_{1/2}$ nebo τ - pokles na $1/2$ nebo $1/e$ počáteční intenzity, nejlépe z log závislosti
- time-gated fluorescence (integrace signálu v definovaném intervalu) – rozlišení mezi analyty s různou dobou vyhasínání



21

Luminiscence organických molekul – obecná pravidla

- podmínkou fotoluminiscence je absorbce
- intenzita luminiscence a posun emise k vyšším vlnovým délkám roste s počtem konjugovaných aromatických kruhů (hyperchromní a bathochromní posun)
- heteroatomy v aromatickém kruhu - vyšší intenzita luminiscence a posun emise k vyšším vlnovým délkám
- heteroatomy mimo aromatický kruh - vyšší intenzita luminiscence a posun emise k vyšším vlnovým délkám (ale méně, než u heteroatomů v arom. kruhu)
- stabilizace molekuly do planární konfigurace přispívá k zvýšení intenzity luminiscence

23

Struktura látek a luminiscence: typy luminiscenčních přechodů

organické luminofory – typické luminiscenční přechody jsou hlavně:



anorganické luminofory

- a) přechody mezi energetickými hladinami ligandu
- b) přechody mezi energetickými hladinami kovu (d-d, f-f)
- c) kov i ligand („charge transfer“ přechody)

22

Luminiscence organických molekul – obecná pravidla

1. Nasycené uhlovodíky (bez π či n e $^-$) obvykle nefluoreskují
2. Nearomatické uhlovodíky s několika dvojnými vazbami fluoreskují zřídka. Sloučeniny s vysoce konjugovanými dvojnými vazbami, např. karoteny, vykazují fluorescenci
3. Aromatické uhlovodíky fluoreskují (π - π^*). Pravděpodobnost fosforecence vzrůstá s výskytom n e $^-$ příp. substituentů.
4. Fosforecence podpořena v aromatických molekulách přítomností karbonylové skupiny nebo heteroatomů (n- π^*). Výsledná zvýšená pravděpodobnost přechodu mezi systémy obvykle snižuje intenzitu fluorescence.
5. Substituenty na aromatickém kruhu ovlivňují hladinu nejnižšího excitovaného stavu a mohou dramaticky zvýšit kvantové výtěžky a emisní vlnové délky (červený, bathochromní posun). Donory e $^-$, např. -OH, zvyšují fluo. výtěžek, akceptorové jej snižují.

24

Luminiscence organických molekul – obecná pravidla

6. Vliv vnitřního těžkého atomu – vliv halidových substituentů: podpora přechodů mezi systémy, $S \leftrightarrow T$.
7. S rostoucí velikostí a konjugovaností aromatického systému roste kvantový výtěžek fluorescence, klesá výtěžek fosorescence.
8. Luminiscence je typická pro molekuly s planární strukturou, které jsou charakteristické vysokou konjugací e^- a slabými interakcemi s rozpuštědly.
9. Fluorescence z atomů kovů se obvykle vyskytuje v rigidních organometalických komplexech, samotný ligand nemusí fluoreskovat. Kromě přechodů v ligandech se na vzniku fluorescence mohou podílet d e^- a f e^- (prvky vzácných zemin).

25

Fotolumioniscence aromatických látek

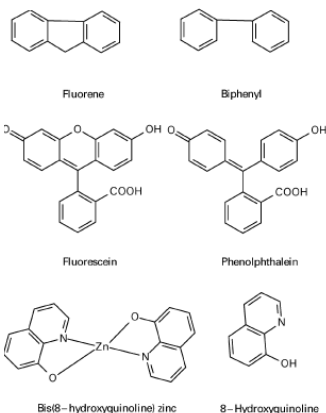
Fluorescence of linear aromatics in EPA at 77K^a

Compound	Φ_F	λ_{ex} (nm)	λ_{cm} (nm)	ϕ_p	τ_p (s)
Benzene	0.11	205	278	0.26	7
Naphthalene	0.29	286	321	0.1	2.6
Anthracene	0.46	365	400	<0.01	0.04
Naphthacene	0.60	390	480	—	—

^aEPA is a mixture of ethanol, isopropanol, and ether.

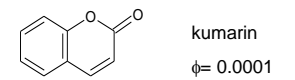
27

Struktura a luminiscence

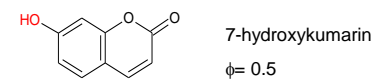


26

Substituce aromátů skupinami zvyšujícími konjugaci



kumarin
 $\phi = 0.0001$



7-hydroxykumarin
 $\phi = 0.5$

vliv substituentů: $CR_3 < CH_3 < SR < SH < NH_2 < OR < OH$

28

Vliv některých substituentů

Effect of substituents on luminescence of aromatic compounds^a

Substituent	ϕ_F	ϕ_P
Alkyl	Slight	Increase
Hydroxyl, methoxyl	Increase	Increase
Carboxyl, keto	Large decrease	Large increase
Nitro, nitroso	Decrease	Increase
Primary, secondary, or tertiary amine	Increase	Increase
Sulphydryl	Decrease	—
Sulfonic acid	Slight	—
Halogen	Decrease	Increase
Cyanide	Increase	—

^aEffect on ϕ_F and ϕ_P relative to the parent compound.

29

Vliv vnitřního těžkého atomu

Internal heavy-atom effect illustrated for 1-substituted naphthalenes^a

Compound	ϕ_F	λ_F (nm)	ϕ_P	λ_P (nm)	τ_P (s)	k_{de} (s)
Naphthalene	0.55	325	0.051	469.5	2.6	1×10^6
1-Fluoronaphthalene	0.84	316	0.056	473	1.5	2×10^6
1-Chloronaphthalene	0.058	319	0.30	483	0.29	1.5×10^6
1-Bromonaphthalene	0.0016	320	0.27	483	0.018	5×10^6
1-Iodonaphthalene	<0.0005	—	0.38	480	0.002	<3 $\times 10^6$

^aMeasurements in ethanol-ether at 77 K.

30

Luminiscence – vliv prostředí

Teplota

obvykle snižuje luminiscenci v důsledku vyššího dynamického zhášení

Solvent

viskozita – vyšší viskozita = méně kolizí, zvýšení fluorescence

polarita a schopnost tvorby H můstků ovlivňují povahu exc. stavu např pro $\pi-\pi^*$ je excitovaný stav obvykle polárnější a zvýšení polarity solventu snižuje energii exc. stavu více než energii stavu základního, což vede k červenému posunu fluorescence. U přechodu $n-\pi^*$ je tomu naopak.

pH

fluorescence protonované a neprotonované formy se mohou výrazně lišit mezi pK_a excitovaném a základním stavu může být řadový rozdíl

Vliv externího těžkého atomu

zvýšení fosorescence podpořením přechodů mezi systémy

31

Zhášení luminiscence

Jevy vedoucí k redukci intenzity luminiscence

- statické zhášení** - např. nefluorescenční komplex, energii absorbuje jiná část molekuly atd.
- dynamické (kolizní) zhášení** – srážka s molekulou zhášedla (např. solventu)
- vnitřně-filtrační efekt** (reabsorpce u molekul s malým Stokesovým posunem)
- fotovybělování** – degradace luminoforu vlivem světla, kterým excitujeme
- koncentrační zhášení** (nelinearity at high concentrations)

32

Instrumentace - fluorimetr

Fluorimetr

- měření celkové fluorescence
- kvantitativní analýza
- zdroj záření: lampa nebo laser (větší citlivost stanovení)
- místo monochromátoru(ů) může být filtr

Spektrofluorimetr

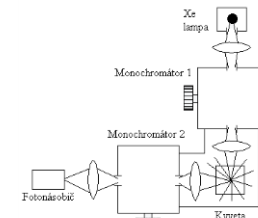
- měření fluorescenčních (emisních a excitačních) spekter
- zdroj záření: zpravidla lampa (možnost volby vlnové délky exc. záření)
- možné další režimy (synchronní sken, časově závislá fluo aj.)

33

Instrumentace

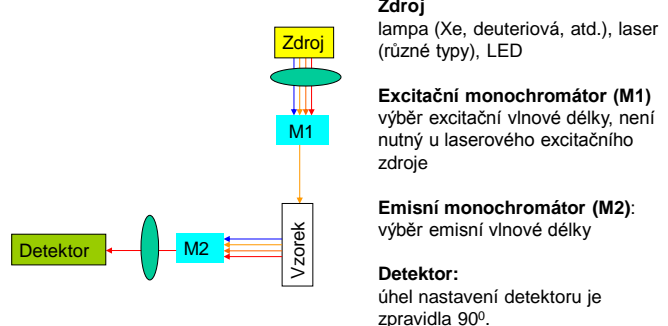


AMINCO- Bowman, Series 2 (AB-2)



35

Měření fotoluminiscence



34

Zdroje excitačního záření

- Lampa
- Laser
- LED

36

Lampa

Typ

xenonová (200-1500nm, UV-Vis)
deuteriová (185-370 nm, hlavně UV oblast)
rtuťová výbojka (253.4 nm a 302.6 nm)



Výhody

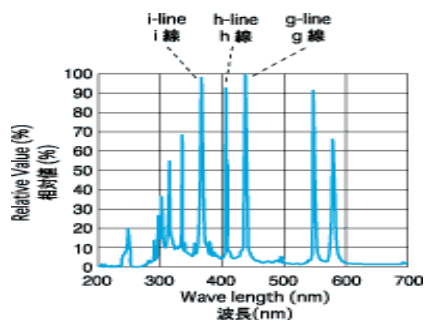
zpravidla možnost výběru z velkého rozmezí vlnových délek a nízká cena

Nevýhody

slabý výkon (při vybrané vlnové délce)

37

Typické spektrum lampy



38

Laser

Jako zdroje excitačního záření lze použít pulsní i kontinuální lasery

Výhody

vysoký výkon při dané vlnové délce
koherence
prostorové vlastnosti paprsku (zaostření, kompatibilita s mikrometodami)
pulsní lasery pro studium časově závislé fluorescence

Nevýhody

rel. vysoká cena
fixní excitační vlnová délka

Laditelné lasery

diskrétně a kontinuálně laditelné lasery

39

Běžné lasery

Laser Source	Wavelength (nm)
Ar-ion (air cooled)	457, 472, 476, <u>488</u> , 496, 501, <u>514</u>
Ar-ion (full frame)	275, 300, 305, 333, 351, 364, 385, 457, 472, 476, 488, 496, 501, 514
Ar-ion (full frame, frequency doubled)	229, 238, 244, 248, 257
Ar-Kr	350-360, 457, 472, 476, 488, 496, 501, 514, 521, 531, 568, 647, 752
He-Cd	325, 354, 442
He-Ne	543, 594, 604, 612, <u>633</u>
Excimer:	
XeCl (pulsed)	308
KrF (pulsed)	<u>248</u>
Nitrogen (pulsed)	<u>337</u>
Nitrogen pumped dye (tunable)	360-950
Solid state:	
YAG (frequency doubled)	<u>532</u>
YAG (frequency quadrupled)	<u>266</u>
Diode lasers:	
frequency doubled (LiNbO ₃)	415
frequency doubled (KTP)	424
frequency tripled (Nd-doped YLF)	349

40

LED

- light-emitting diodes
- rozvoj CD, DVD, blue ray
- běžné v IR a Vis, nyní i v UV
- pro fluorimetrii vhodné UV a Vis LED



- Vis: 450 - 800
- UV: 285 – 400

41

Detektory

Požadavky

- vysoká citlivost
- široký dynamický rozsah

Fotonásobič (PMT)

Charge-Coupled Device (CCD)

Diode array (DA)

43

Monochromátory

- Filtr
- Hranol
- Mřížka

42

Instrumentace pro časově rozlišenou luminiscenci

excitace zábleskovou lampou

obvykle pro časy delší než desítky mikrosekund (nejčastěji Xe lampa)

excitace pulsním laserem

velmi krátké trvání pulsu

femtosekundové lasery (Heisenbergův princip: $\Delta\tau$ vs. $\Delta\nu$)

44

Srovnání absorpční a luminiscenční spektroskopie v oblasti UV-Vis

Spektroskopie v oblasti UV-Vis

$$A = c \times \varepsilon = \log(I_0/I)$$

Absorpční spektroskopie: měření poměru dvou světelných toků
+ přesnost (odolnost vůči změnám abs. hodnoty světelného toku Φ_0)
- citlivost při (nepatrný rozdíl mezi I_0/I při nízké koncentraci analytu)

Luminiscenční spektroskopie

$$F \sim k \varphi I_0 \cdot 2.3 c \times \varepsilon$$

Luminiscenční spektroskopie: měření vyzářené energie
+ vysoká citlivost při použití citlivého detektoru (i jednotlivé fotony)
- přesnost (fluorescence je přímo úměrná excitačnímu světelnému toku (I_0);
projevuje se u ní negativně kolísání excitačního zdroje

45

Využití luminiscence v chemickém výzkumu

- stanovení anorganických a organických sloučenin a biosloučenin
- stanovení sloučenin s vlastní fluorescencí
- stanovení anorganických iontů a prvků (tvorba chelátů s organickými činidly)
- fluorimetrická **indikace ekvivalenčního bodu** (stanovení Ca^{2+} , Ba^{2+} , Sr^{2+} chelatometricky za přítomnosti fluorexonu)
- fluorescenční **acidobazické indikátory**: naftylamin (pH 3.4 – 4.8), chininbissulfát (pH 3.0 – 5.0), akridin (pH 4.8 – 6.6)
- oxidačně redukční fluorescence**: Hg^{2+} oxiduje thiamin na thiochrom (fluoreskuje)
- široká škála biologických aplikací: informace o kvantitě, struktuře, vzájemných interakcích a lokalizaci

47

Další režimy spektrofluorimetru

3D spektra

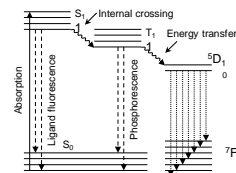
- emisní spektrum vs. excitační
- emisní (resp. excitační spektrum) vs. čas
- vyhasínání luminescence vs. emisní spektrum

Synchronní sken

- Současný sken obou monochromátorů
- Stokesův posun je konstantní
- Stokesův posun není konstantní (jen speciální případy)

46

Luminiscence lanthanoidů - příklad anorganické luminiscence



„Anténový efekt“ – ligand absorbuje energii, která je převedena na centrální iont, který vyzáří kvantum energie

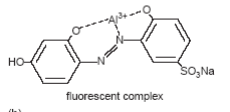
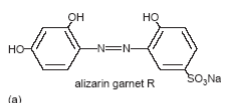
Charakteristické rysy luminiscence lanthanoidů:

- dlouhé časy vyhasínání
- dlouhý Stokesův posun
- ostré páky naležící energetickým přechodem mezi hladinami

48

Příklady stanovení anorganických iontů

Cheating Agent	Metal Ions
8-hydroxyquinoline	Al ³⁺ , Be ²⁺ , Zn ²⁺ , Li ⁺ , Mg ²⁺ (and others)
flavonal	Zr ⁴⁺ , Sn ⁴⁺
benzoin	BaO ²⁻ , Zn ²⁺
2',3,4',5,7-pentahydroxyflavone	Be ²⁺
2-(o-hydroxyphenyl) benzoxazole	Cd ²⁺



Stanovení Al³⁺ fluorimetricky s alizarinem

49

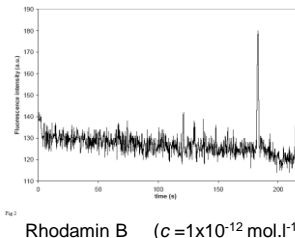
Derivativace

Vnitřní (nativní) x vnější luminiscence - značky a sondy

Molekuly bez vlastní (vnitřní, nativní, přirozené) luminiscence lze derivativizovat luminiscenčními značkami/sondami

Detekce jednotlivých molekul a obsahu jednotlivých buněk

„single molecule/cell detection“



51

Příklady luminiscenčních stanovení – organické látky a biomolekuly s vlastní fluorescencí

Class	Compounds ^a
aromatic amino acids	phenylalanine (F) tyrosine (F) tryptophan (F, P)
vitamins	vitamin A (F) vitamin B ₂ (F) vitamin B ₆ (F) vitamin B ₁₂ (F) vitamin E (F) fol acid (F)
catecholamines	dopamine (F) norepinephrine (F)
pharmaceuticals and drugs	quinine (F) salicylic acid (F, P) morphine (F) barbiturates (F) LSD (F) codeine (P) caffeine (P) sulfanilamide (P)
environmental pollutants	polycyclic aromatic hydrocarbons: pyrene (F) benzo[a]pyrene (F) organothiophosphorous pesticides (F) carbamate insecticides (F) DDT (P)

50

Výběr fluorescenčních značek

Kritéria:

spektrální vlastnosti (excitace, emise, kvantový výtežek atd.)

vazebné místo (-NH₂, -SH skupina a další)

podmínky reakce (pH, koncentrace...)

další vlastnosti (acidobazicita, hydrofobicita ...)

52

Fluorescenční značky a sondy

fluorescenční značky (fluorescent labels)

nevlastní (extrinsic fluorescence) fluorofory, které se ke sledovaným biomolekulám (proteinům, peptidům, ligandům, oligonukleotidům a jiným) vážou kovalentní vazbou

fluorescenční sondy (fluorescent probes)

nevlastní fluorofory, které se ke sledované struktuře vážou nekovalentně a často přitom mění své fluorescenční vlastnosti

Značky a sondy jsou velmi důležitými nástroji především v bioanalytice

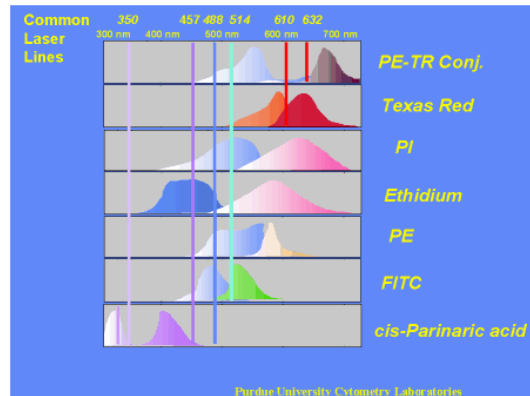
53

Použití luminiscenčních značek

- analytické stanovení (příp. v kombinaci se sep. metodou)
- fluorescenční mikroskopie, značení buňek a tkání
- fluorescenční *in situ* hybridizace (FISH)
- měření vzdálenosti funkčních skupin (FRET)
- průtoková cytometrie
- fluorescenční „imunoassays“

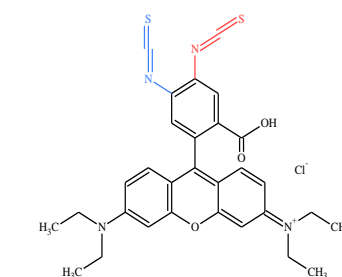
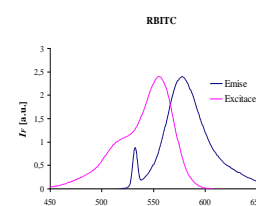
54

Výběr fluorescenční značky – spektrální vlastnosti



55

Výběr fluorescenční značky – spektrální vlastnosti



Analyt: peptidy, aminokyseliny, aminosloučeniny

Nd:YAG (x2): 532 nm

Ar⁺: 488 nm

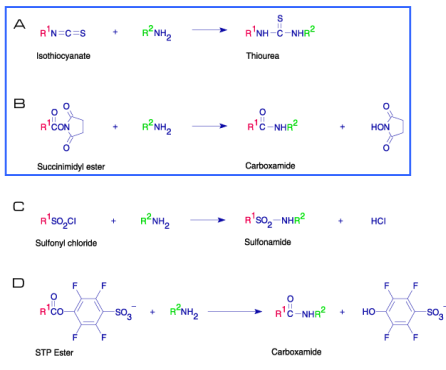
rhodaminB isothiocyanát
fluorescein isothiocyanát

56

Fluorescenční značky

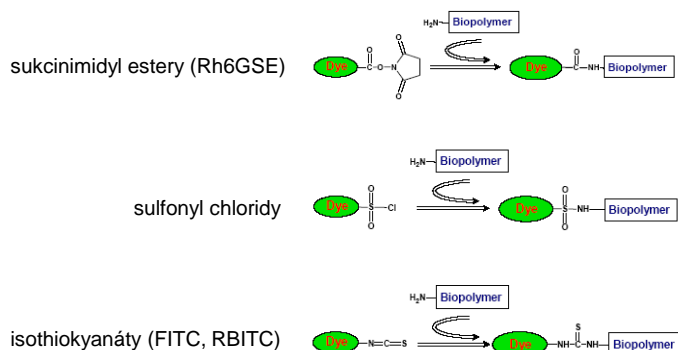
- Klasifikace fluorescenčních značek podle vazebného místa biomolekuly:

aminová skupina
thiolová skupina
další



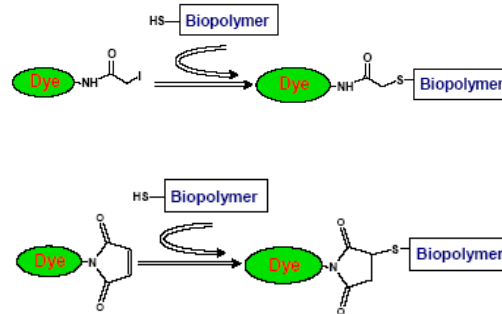
57

Výběr fluorescenční značky – vazebná místa: amino-reaktivní značky



58

Výběr fluorescenční značky dle vazebného místa: thiol-reaktivní značky



59

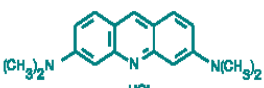
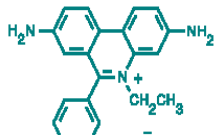
Fluorescenční imunoanalytické metody

- Fluorescence Immuno Assay (FIA)
 - Fluorescence Polarization Immuno Assay (FPIA)
 - Time Resolved Fluorescence Immuno Assay (TR-FIA)
 - Elektroluminiscenční, chemiluminiscence a další
 - Enzymatické metody s luminiscenční detekcí
 - náhrada radioimuno technik s příchodem levných laserů a kvůli vyšší bezpečnosti
 - detekční limity obou metod jsou srovnatelné (až 10^{-12} g.l⁻¹)

60

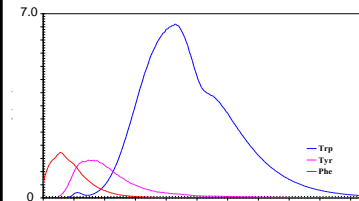
Fluorescenční sondy pro NK

- Vizualizace a identifikace RNA a DNA
- Různé principy interakce, např. „vmezeření“ barviva do šroubovice DNA (ethidium bromid)



61

Nativní fluorescence aminokyselin, proteinů a peptidů



	Trp	Tyr	Phe
λ_{max} (nm)	348	303	282
ϕ_f	0.20	0.14	0.04
τ_f (ns)	2.6	3.6	6.4
Abs λ_{max} (nm)	280	274	257
Abs ϵ_{max}	5600	1400	200
$\epsilon_{\text{max}} \cdot \phi_f$	11	2	0.008

63

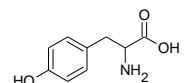
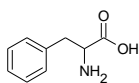
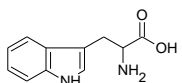
Nativní fluorescence peptidů a proteinů

V peptidech a proteinech fluoreskují zejména: W, Y a F.

W fluoreskuje nejvíce, Y je nejpočetnější, W může zhášet Y.

Excitace v oblasti UV, emise od 280 nm po 400 nm.

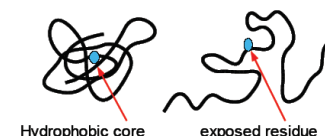
Dále mohou fluoreskovat různé prostetické části proteinů (např. kofaktory), ale mohou také zhášet...



62

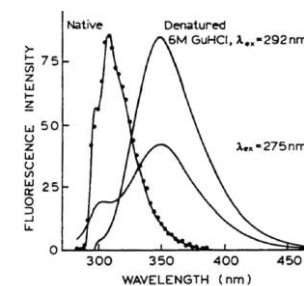
Nativní fluorescence peptidů a proteinů

Unfolded (nesbalený):
volná rotace, více kolizi, větší vliv polárnějšího solventu



Folded (fixní konformace):
méně kolizi, fluorescense je ovlivněna nepolárním jádrem proteinu

Se zvyšující se polaritou prostředí (konformace, solvent) roste emisní maximum



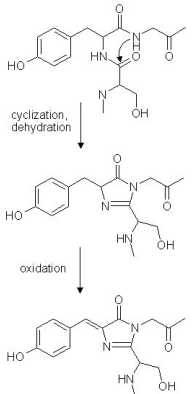
Green Fluorescent Protein (GFP)

Zeleně fluoreskující protein (GFP) - izolován z medúzy.

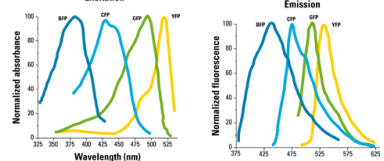
Fluorescence pochází z konjugovaného systému vzniklého cyklizací vedlejšího řetězce proteinu a následnou oxidaci sekvence Ser-Tyr-Gly.

GFP má dva výrazné excitační pásy (kolem 395 a 475 nm) a maximum emise je 508 nm. V živém organismu je energie získána chemickou reakcí (chemiluminiscence).

Po modifikaci DNA mohou produkovat GFP také jiné organismy (bakterie, mušky, savčí buňky...)



GFP, YFP a další...



Proteiny s výraznou vlastní (vnitřní) fluorescencí jsou využívány:

- neinvazivní fluorescenční „marker“ přímo v živých buňkách
- sledování exprese genu
- interakce protein-protein

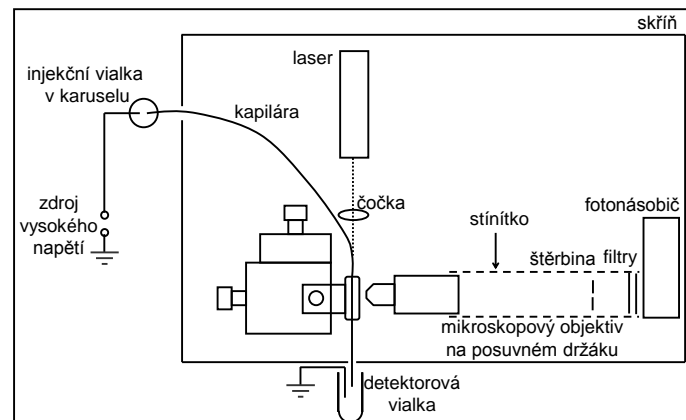
Spojení separačních technik a fluorescence

Kolonové i planární separační techniky - HPLC, CE, ITP, 2D GE aj.

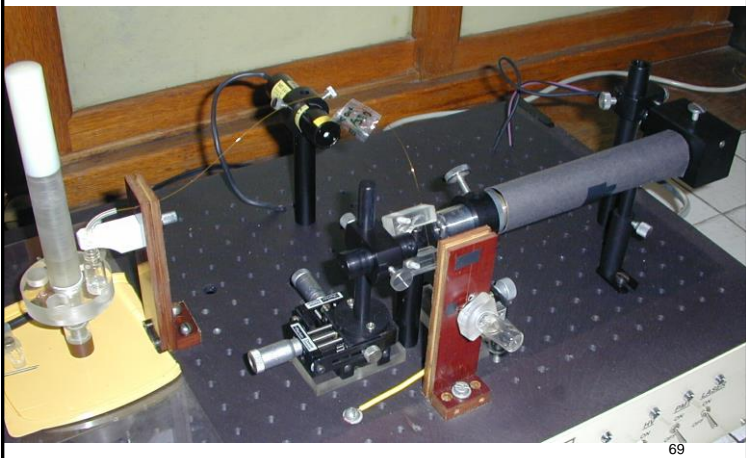
Laser výhodný jako zdroj excitačního záření zvláště pro on-column detekci u mikrokolonových sep. technik

- LIF (laser induced fluorescence)
- kompatibilita laserového paprsku s mikrokolonovými technikami
 - dostatečný světelný tok i při rel. malém výkonu laseru (~mW)
 - vyšší toky způsobují bělení
- pro danou třídu analytů, resp. derivátů zvolen vhodný laser podle vlnové délky
- jednoduchá sestava: demonstrace na CE LIF

CE LIF: schema

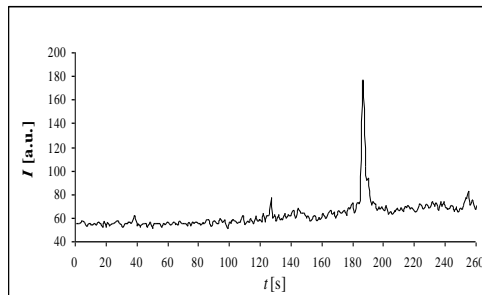


Konstrukce CE LIF



69

Př. 1: Limit detekce (LOD)

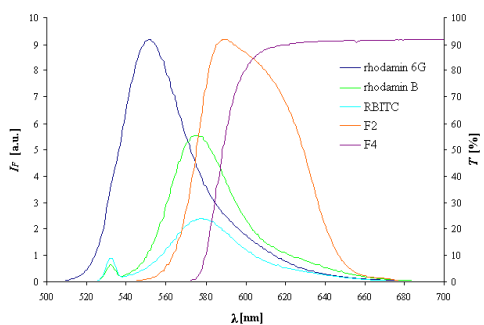


Analyt: Rhodamin B, $c = 1 \times 10^{-12} \text{ mol/l}$, excitace: 532 nm, 5 mW; emise: > 560 nm, kapilára: 50 mm i.d., 375 mm o.d., $l = 30/37 \text{ cm}$, dávkování: $U = 5 \text{ kV}$, $t_i = 10 \text{ s}$ nebo $\Delta h = 2 \text{ cm}$, $t_r = 30 \text{ s}$, separace: 0,02 mol/l fosfát v 10% MeOH, pH 10; $U = 10 \text{ kV}$

$LOD \sim 2 \times 10^{-13} \text{ mol/l} \dots \sim 10^2 \text{ molekul}$

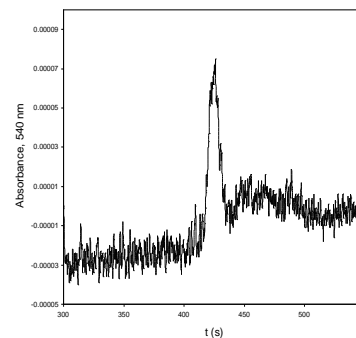
71

Výběr luminiscenčního barviva – spektrální vlastnosti



70

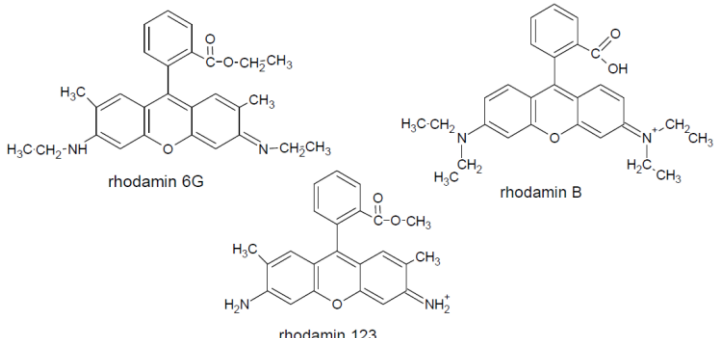
LOD: srovnání s absorbanční detekcí



Analyt: Rhodamin B, $c = 1 \times 10^{-5} \text{ mol/l}$ (při obdobném dávkování)

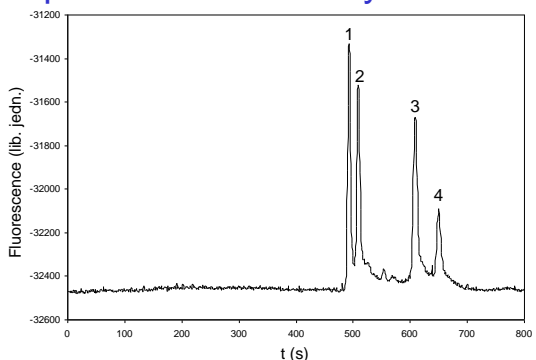
72

Př. 2: Separace rhodaminových barviv



73

Separace rhodaminových barviv



BGE: 50 mM kys. citronová v 10 % EtOH (v/v)/NaOH (pH = 2,5)

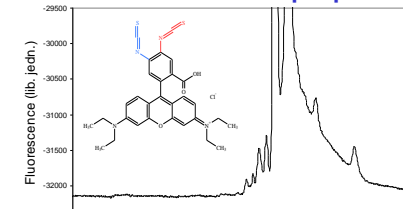
Píky: 1, 2 - Rh 123, 3 - Rh 6G, 4 - Rh B

74

Př. 3: CE LIF značeného peptidu

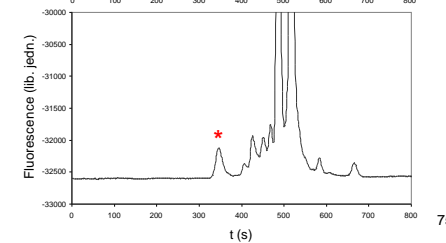
blank

RhBITC



značený peptid

P-RhBITC



75

Př. 4: Stupeň fosforylace rodiny proteinů AHP?

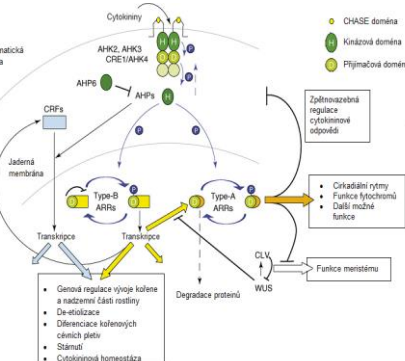
Cytokininová signální dráha rostlin

A. thaliana proteiny AHP
(Arabidopsis Histidinephospho-transfer Proteins)

AHP1-5 fungují jako proteiny HPT

doména HPT s evolučně konzervovaným strukturním motívem
XHQXKGSSXS

Role fosforylace na His?



To, J.P., Kieber, J.J. Trends Plant Sci. 2008, 13, 85-92

76

Fosfohistidin (pHis)

typ fosforylované aminokyseliny	prostředí	
	kyselé	zásadité
O-fosfáty	fosfoserin	stabilní nestabilní
	fosfothreonin	stabilní nestabilní
	fosfotyrosin	stabilní stabilní
N-fosfáty	fosfohistidin	nestabilní stabilní
	fosfoaspartát	nestabilní nestabilní
	fosfoglutamát	nestabilní nestabilní
acyl-fosfáty	fosfoarginin	nestabilní stabilní
	fosfolysin	nestabilní stabilní
S-fosfáty	fosfocystein	stabilní stabilní

- 2 izomery pHis
- 6 % z celkového počtu fosfoproteinů



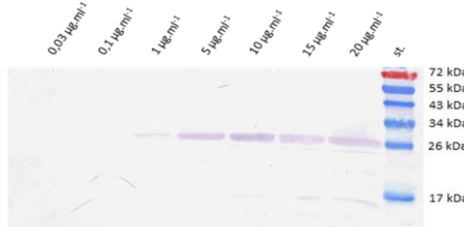
SICKMANN, A; MEYER, HE. Analyst. 2005, 130, 9, s. 1263-1270.

- ...nelze separovat 2D PAGE \Rightarrow CE-LIF
- separace v nativním prostředí
 - specificita
 - fúzní proteiny AHP-GFP

77

WB standardu GFP

Western blot standardu GFP



0,03 - 20 $\mu\text{g.ml}^{-1}$ vždy v objemu 30 μl

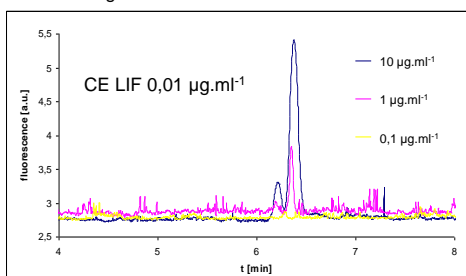
LOD

Western blot ~1,0 $\mu\text{g.ml}^{-1}$ CE-LIF ~0,01 $\mu\text{g.ml}^{-1}$

79

CE-LIF standardu GFP

Elektroforegram standardu GFP



$\Delta h = 3 \text{ cm}$, $t_{nj} = 5 \text{ s}$, $U = 8 \text{ kV}$, 50 mM Tris se 50 mM NaCl, $pH = 9,0$

- Craig, D. B.; Wong, J. C. Y.; Dovichi, N. J., *Biomedical Chromatography*. 1997, 11 (4), 205-206.
- Zhang, H. F.; Ma, L.; Liu, X.; Yu, Y. T., *Journal of Chromatography B-Analytical Technologies in the Biomedical and Life Sciences* 2004, 804 (2), 413-420.
- Korf, G. M.; Landers, J. P.; Okane, D. J., *Analytical Biochemistry* 1997, 251 (2), 210-218.

LOD [ng/ml]	LOD [M]	V [nl]	Ref.
0,08	$3,0 \cdot 10^{-12}$	17	1
-	$1,3 \cdot 10^{-10}$	3	2
90	$3 \cdot 10^{-9}$	1,9	3
10	$4 \cdot 10^{-10}$	0,6	tato práce

78

Př. 5: Stanovení potravinářských barviv

Available online at www.sciencedirect.com



Journal of Chromatography A, 1141 (2007) 206–211

JOURNAL OF
CHROMATOGRAPHY A

www.elsevier.com/locate/chroma

Sensitive determination of erythrosine and other red food colorants using capillary electrophoresis with laser-induced fluorescence detection

Markéta Ryvolová, Petr Táborský, Patrik Vrábel, Pavel Krásenský, Jan Preisler *

Department of Analytical Chemistry, Faculty of Science, Masaryk University, Kotlářská 2, 611 37 Brno, Czech Republic

Received 3 July 2006; received in revised form 1 December 2006; accepted 5 December 2006

Available online 22 December 2006

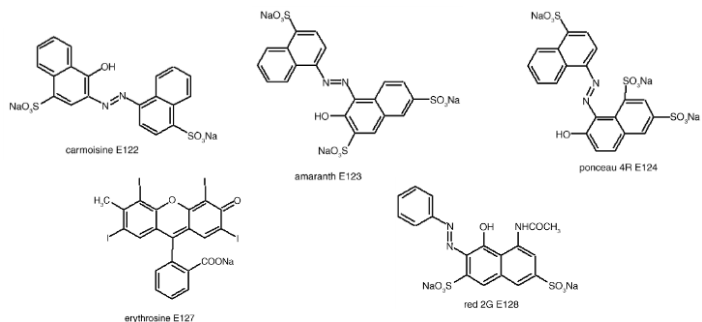
Abstract

Capillary electrophoresis with laser-induced fluorescence detection (CE-LIF) was applied to separation and sensitive determination of red food colorants. Diode pumped frequency-doubled Nd:YAG laser (352 nm) was used as an excitation source in a laboratory-built CE-LIF system. For highly fluorescent erythrosine B (E127), an extrapolated limit of detection (LOD) of 0.4 ng mL⁻¹ ($S/N = 3$) was achieved. Extrapolated LODs of other tested red additives, such as carmoisine, E122 (0.5 $\mu\text{g mL}^{-1}$); amaranth, E123 (0.2 $\mu\text{g mL}^{-1}$); ponceau 4R, E124 (0.3 $\mu\text{g mL}^{-1}$) and red 2G, E128 (0.3 $\mu\text{g mL}^{-1}$) were about one-order lower compared to results obtained with CE with absorbance detection in UV/vis (CE-UV/vis). The main advantages of using CE-LIF for analysis of food samples are high selectivity and minimization of matrix effect. To our knowledge, this is the first use of CE-LIF for determination of red food colorants.

© 2006 Elsevier B.V. All rights reserved.

80

Stanovovaná barviva



Excitation and emission maxima, molar absorption coefficients and quantum yields of the studied colorants at 532 nm

	λ_{exc} (nm)	λ_{em} (nm)	ϵ_{532} ($10^4 \text{ L mol}^{-1} \text{ cm}^{-1}$)	Φ_{532}
E122	Carmoisine	556	570	1.54×10^{-6}
E123	Amaranth	552	576	2.07×10^{-6}
E124	Ponceau 4R	555	575	1.27×10^{-6}
E127	Erythrosine	524	549	7.72
E128	Red 2G	550	574	0.1×10^{-5}

Colorants were dissolved in sodium phosphate buffer (0.02 M, pH 11), concentration of each dye was 1×10^{-5} M.

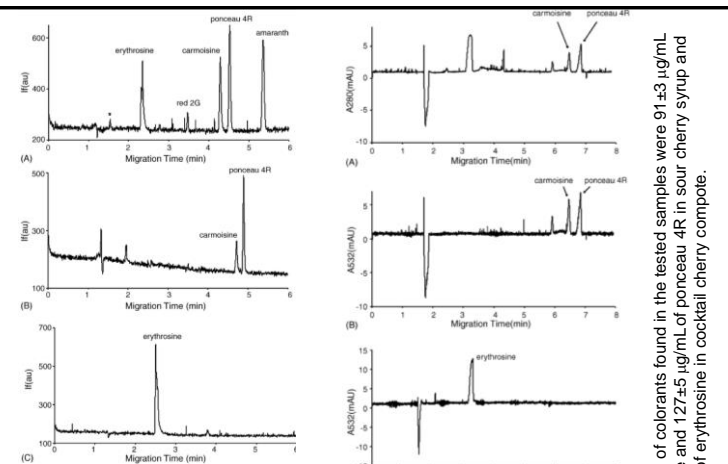


Fig. 2. CE-LIF electropherograms. (A) Separation of five red food colorants. Concentration of carmoisine, amaranth, ponceau 4R, red 2G, 2 $\times 10^{-5}$ M and erythrosine, 2 $\times 10^{-5}$ M, injected amount of each dye was 24 pg, 29 pg, 29 pg, 25 pg and 0.045 pg, respectively. * marks impurity in the sample; (B) separation of colorants in sour cherry syrup, sample diluted 2× in BGE; (C) separation of colorants in cocktail cherry compote, sample diluted 100× in BGE. Injected amounts were 22 pg of carmoisine and 31 pg of ponceau 4R; (C) separation of colorants in cocktail cherry compote, sample diluted 100× in BGE. Injected amount of erythrosine was 0.052 pg.

Př. 6: Stanovení glutathionu v dechu a slinách



Contents lists available at ScienceDirect

Journal of Chromatography A

journal homepage: www.elsevier.com/locate/chroma



Sensitive determination of glutathione in biological samples by capillary electrophoresis with green (515 nm) laser-induced fluorescence detection^{a,*}

Júlia Hodáková^a, Jan Preisler^b, František Foret^b, Petr Kubáň^{a,b,*}

^a Department of Chemistry, Masaryk University, Kotlářská 2, 611 37 Brno, Czech Republic

^b Bioanalytical Instrumentation, CETEC Masaryk University, Veveří 97, 602 00 Brno, Czech Republic

ARTICLE INFO

Article history:

Received 19 November 2014

Received in revised form 2 February 2015

Accepted 20 February 2015

Available online 26 February 2015

Keywords:

Capillary electrophoresis

Laser-induced fluorescence

Glutathione

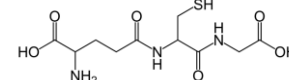
Eosin-5-maleimide

ABSTRACT

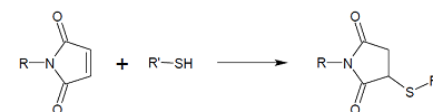
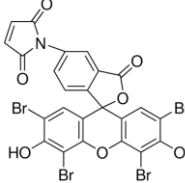
A new sensitive capillary electrophoretic method with laser-induced fluorescence (LIF) was developed for quantification of glutathione (GSH) in biological samples. Eosin-5-maleimide was used to label the GSH molecule and the conjugate was separated in a 15 mM 4-(2-hydroxyethyl)-1-piperazineethanesulfonic acid electrolyte at pH 7.0 in less than 3 min. The conjugate was detected with an in-house built LIF system, utilizing an inexpensive 515 nm diode laser module. Studies were performed to optimize the derivatization (the ratio of reagent to analyte, the reaction time, pH, etc.) and separation conditions. Sensitive detection of GSH at concentrations as low as 0.18 nM was obtained. The method was applied in the analysis of biological fluids (exhaled breath condensate, saliva) and was found to be suitable for determination of GSH in these samples at trace levels below 1 nM. To the best of our knowledge, this is the first report on determination of GSH in exhaled breath condensate by capillary electrophoresis (CE).

Derivatizace glutathionu

Glutathion (GSH)



Eosin-5-maleimid (EMA)



CE LIF standardu GSH

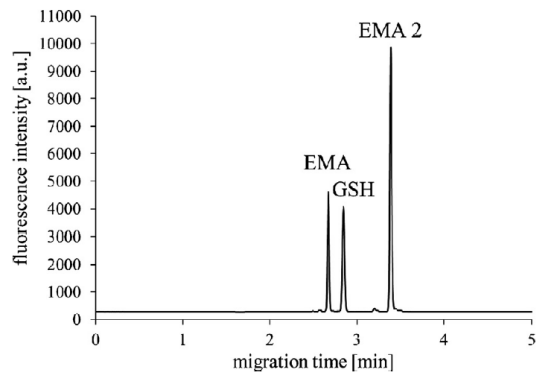


Fig. 1. Separation of EMA and GSH-EMA conjugate. GSH concentration: 100 nM, EMA concentration: 250 nM. The EMA 2 peak corresponds to the EMA decomposition product. CE conditions: separation voltage +15 kV, HD injection 35 s/10 cm, detection: LIF (excitation: 515 nm/emission: >540 nm), BGE: 15 mM HEPES, pH 7.0.

85

CE LIF glutathionu v dechu a slinách

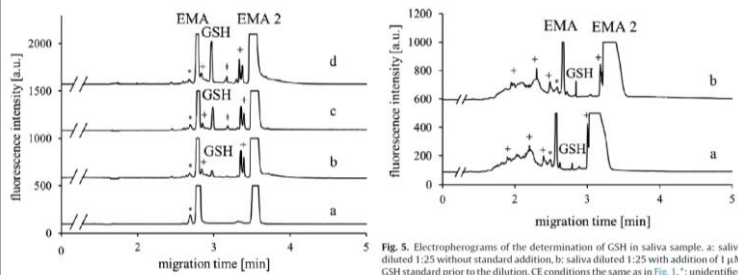


Fig. 4. Electropherograms of the determination of GSH in EBC sample. a: blank sample; b: EBC; b: EBC sample without standard addition; c: EBC sample with addition of 1 nM GSH standard; d: EBC sample with addition of 5 nM GSH standard. CE conditions the same as in Fig. 1. *: unidentified peaks due to the EMA reagent, +: unidentified peaks due to the sample matrix, and #: unidentified peak due to the GSH standard.

86

Fig. 5. Electropherograms of the determination of GSH in saliva sample. a: saliva diluted 1:25 without standard addition; b: saliva diluted 1:25 with addition of 1 μ M GSH standard prior to the dilution. CE conditions the same as in Fig. 1. *: unidentified peaks due to the EMA reagent, +: unidentified peaks due to the sample matrix, #: unidentified peak due to the GSH standard.